

ثقل سنجی هوایی اسکالر با استفاده از پنجره‌های مختلف فیلتر پایین‌گذر

احمد غنچی^۱، بیزان عامریان^{۲*}، محمد شکیبای صنوبری^۳

۱- دانشجوی کارشناسی ارشد ژئودزی دانشکده مهندسی نقشه‌برداری دانشگاه صنعتی خواجه نصیرالدین طوسی

۲- استادیار دانشکده مهندسی نقشه‌برداری دانشگاه صنعتی خواجه نصیرالدین طوسی

۳- دانش آموخته کارشناسی ارشد ژئودزی دانشکده مهندسی نقشه‌برداری دانشگاه صنعتی خواجه نصیرالدین طوسی

تاریخ دریافت مقاله: ۱۳۹۶/۰۵/۱۶ تاریخ پذیرش مقاله: ۱۳۹۶/۰۶/۲۷

چکیده

در ثقل سنجی هوایی از ترکیب داده‌های سیستم تعیین موقعیت جهانی (GPS) و سیستم ناوبری اینرسی (INS) برای تعیین شتاب ثقل زمین استفاده می‌شود. موقعیت حاصل از GPS آلوده به نویز بوده و این امر سبب می‌شود که شتاب GPS محاسبه شده که نتیجه دوبار مشتق گیری عددی از سیگنال موقعیت GPS است، نیز آلوده به نویز شده و بدلیل خطاهای محاسباتی فرآیند مشتق گیری، میزان نویز آن تشدید گردد. شتاب حاصل از سیستم INS نیز دارای نویز بالایی می‌باشد. در این مقاله ابتدا از فیلتر دیجیتال مشتق گیر پایین‌گذر برای محاسبه شتاب GPS استفاده شده تا نویز شتاب GPS حاصل از دو بار مشتق گیری موقعیت GPS تا حد امکان کاسته شود. سپس برای نرم کردن و حذف نویز شتاب‌های GPS و INS از فیلترهای دیجیتال پایین‌گذر با پنجره‌های مختلف استفاده شده است. پس از نرم کردن و حذف نویز شتاب‌های GPS و INS برای به دست آوردن شتاب ثقل کافی است که شتاب GPS از شتاب INS کم گردد و برای به دست آوردن نوسان شتاب ثقل، شتاب نرمال از شتاب ثقل حاصل کم می‌گردد. اما نوسان شتاب ثقل به دست آمده به دلیل خطاهایی نظیر بایاس‌ها و ضریب مقیاس‌های ژیروسکوپ و شتاب سنج INS دارای خطای می‌باشد که از فیلتر کالمون برآورد این خطاهای و اعمال آن بر نوسان جاذبه استفاده گردید. در این مقاله نشان داده شده است که با استفاده نرم‌سازی به وسیله فیلتر پایین‌گذر با پنجره حاصل ضرب پنجره‌های هنینگ و بلکمن و فیلتر پایین‌گذر با پنجره بلکمن و فیلتر پایین‌گذر با پنجره کایزر با پارامتر مناسب، می‌توان به شتاب ثقل با دقت میلی‌گال رسید که قابل مقایسه با نرم‌سازی انجام شده به وسیله روش B-Spline می‌باشد. روش B-Spline قبل‌اً بر داده‌های استفاده شده در این مقاله اعمال شده و شتاب ثقلی با دقت میلی‌گال به دست آمده است. برتری استفاده از فیلتر پایین‌گذر نسبت به روش B-Spline، آسان‌تر بودن روش طراحی و از طرفی کم بودن زمان اجرای آن است. یکی دیگر از محاسن این نوع فیلتر قابلیت کنترل نرم‌سازی آن با استفاده از مرتبه فیلتر می‌باشد تا در نهایت شتاب ثقلی با دقت مورد نظر حاصل گردد.

کلیدواژه‌ها: سیستم تعیین موقعیت جهانی، سیستم ناوبری اینرسی، فیلتر دیجیتال پایین‌گذر، نرم‌سازی، شتاب ثقل

*نویسنده مکاتبه کننده: دانشکده مهندسی نقشه‌برداری دانشگاه صنعتی خواجه نصیرالدین طوسی

تلفن: ۰۳۰۲ ۸۸۸۷۷۰۷۱ (داخلی: ۰۷۱)

۱- مقدمه

موقعیت را با دقت بالای تعیین می‌کرد، ترکیب GPS و INS عملکرد خوبی را در بازیابی میدان ثقل زمین برای طول موج‌های متوسط از خود نشان داد [۴]. به همین خاطر ثقل سنجی هوایی با استفاده از ترکیب GPS و INS یک روش بسیار خوب برای تکمیل روش‌های زمینی و ماهواره‌ای ثقل سنجی در مدل‌سازی میدان ثقل زمین می‌باشد.

در ثقل سنجی هوایی از ترکیب داده‌های GPS و INS برای به دست آوردن شتاب ثقل زمین استفاده می‌شود. داده‌های سیستم تعیین موقعیت جهانی شامل مؤلفه‌های موقعیت به صورت طول و عرض جغرافیایی و ارتفاع ژئوتیک در چارچوب مرجع WGS84^۸ است. شتاب حاصل از GPS، مجموع دو شتاب وسیله متحرک و شتاب ثقل می‌باشد. داده‌های INS شامل سه شتاب و سه زاویه دوران است. شتاب حاصل از INS فقط شامل شتاب وسیله متحرک می‌باشد، لذا در ثقل سنجی هوایی، شتاب ثقل زمین نتیجه تفاضل شتاب INS از شتاب GPS خواهد بود که مراحل محاسبه شتاب ثقل در ثقل سنجی هوایی در شکل (۱) نشان داده شده است [۵].

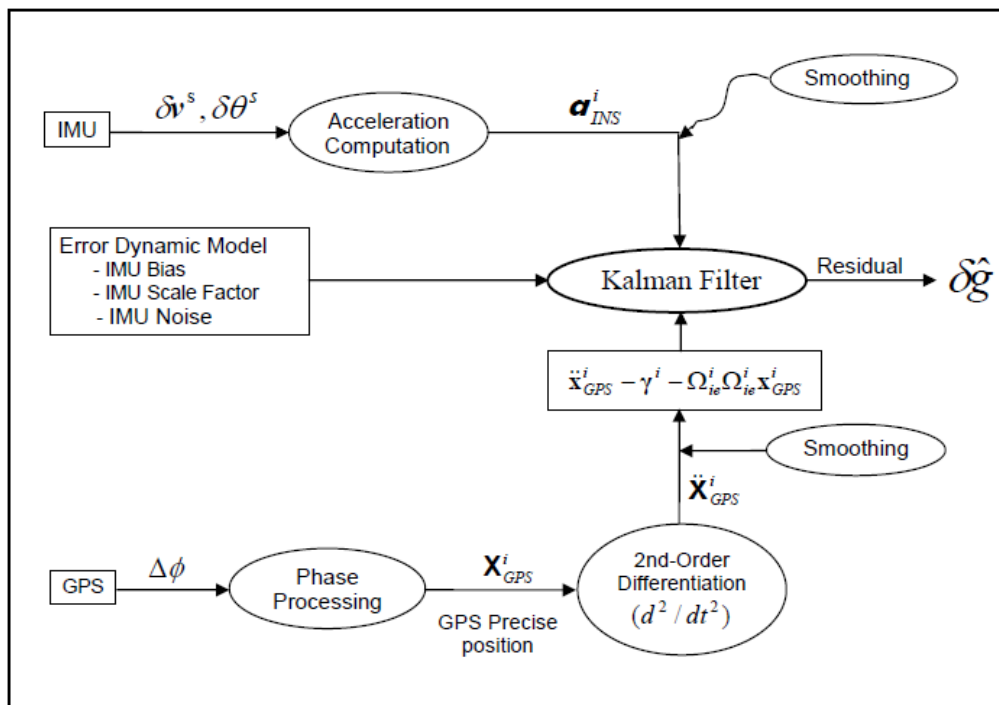
داده‌های INS شتاب وسیله متحرک را در چارچوب جسمی^۹ ارائه می‌دهد که چارچوب جسمی، چارچوب متصل به بدنه وسیله متحرک است که این سه شتاب با استفاده از سه زاویه داده شده توسط INS به چارچوب اینرسی^{۱۰} منتقل می‌گردد. چارچوب اینرسی، چارچوبی است که اثر دوران زمین از آن حذف شده است. داده‌های GPS ابتدا با اعمال یک تبدیل سیستم مختصات، از چارچوب مرجع WGS84 به چارچوب ناوبری^{۱۱} برده می‌شود. چارچوب ناوبری چارچوبی می‌باشد که در آن مبدأ محلی است و بر روی بیضوی قرار دارد و محور اول آن

تعیین میدان ثقل زمین یکی از مباحث تخصصی ژئودزی می‌باشد که مدل‌سازی آن مستلزم مشاهدات ثقل زمین است. ثقل سنج‌های زمینی^۱ یکی از ابزارهای مشاهده شتاب ثقل زمین می‌باشد. این روش اطلاعات دقیقی از شتاب ثقل زمین را فراهم می‌کند اما علاوه بر پرهزینه وقت‌گیر بودن، در مناطق غیرقابل دسترس مانند یخچال‌های قطبی، کوهستانی و بیابانی نمی‌تواند به کار رود. با فناوری جدید ماهواره‌ای^۲ و با استفاده از مشاهدات ثقل سنجی ماهواره‌ای^۳، مدل‌سازی میدان شتاب ثقل برای طول موج‌های بلند امکان‌پذیر گشته است [۱]. با این حال برای طول موج‌های کوتاه (کمتر از ۲۰۰ کیلومتر) امکان مدل‌سازی میدان ثقل با استفاده از این فناوری وجود ندارد [۲]. ثقل سنجی هوایی^۴ با استفاده از هوایپیما علاوه بر ارزان قیمت بودن، در طیف وسیعی از طول موج‌ها به کار می‌رود و علاوه بر این در مناطق صعب‌العبور و دور دست نیز می‌تواند به کار گرفته شود. نخستین تلاش برای ثقل سنجی هوایی به وسیله ترکیب سیستم ناوبری اینرسی (INS)^۵ که دارای ضعف در تعیین موقعیت می‌باشد و دستگاه ثقل سنج صورت گرفت [۳]. در عین حال که نتایج این تلاش امیدوار کننده بود مهترین مشکل آن گران بودن ثقل سنج و حساسیت زیاد آن به دینامیک پرواز بود. تلاش بعدی برای ثقل سنجی هوایی، ترکیب INS با سیستم ناوبری رادیویی^۶ بود. نتایج این ترکیب به دلیل نرخ پایین داده‌های ناوبری و دقت کم ارتفاع سنج رادار^۷ ضعیف بود. با توسعه سیستم تعیین موقعیت جهانی (GPS)^۸ که

¹ Gravimeter² Satellite Gravimetry³ Airborne Gravimetry⁴ Inertial Navigation System: INS⁵ Radio Navigation System⁶ Radar Altimeter⁷ Global Position System: GPS⁸ WGS84 Reference Frame⁹ Body Frame¹⁰ Inertial Frame¹¹ Navigation Frame

قرار دارد. سپس با اعمال یک تبدیل دیگر، موقعیت به چارچوب اینرسی منتقل می‌گردد.

به سمت شمال (موازی با خط نصف‌النهاری)، محور دوم به سمت شرق و محور سوم در جهت نرمال بر بیضوی



شکل ۱: مراحل محاسبه شتاب ثقل از ترکیب مشاهدات GPS/INS در ثقل‌سنجی هوایی [۶]

به همین دلیل محاسبات آسانتر و راحت‌تر و مقدار محاسبات کمتر خواهد بود. علاوه بر این بر خلاف روش‌های سنتی که مولفه قائم شتاب قابل بازیابی نبود، در روش آنها این مولفه نیز قابل بازیابی است. نتایج روش آنها در مقایسه با روش‌های سنتی صحت بیشتری دارد [۶].

در سال ۲۰۰۵ شکیبای صنوبری ثقل‌سنجی هوایی را با استفاده از روش کوان و جکلی انجام داد [۱۱]. در کار انجام شده توسط ایشان از فیلتر B-spline برای محاسبه شتاب GPS استفاده گردید. همچنین برای نرم کردن و حذف نویز شتاب‌های GPS و INS از فیلتر B-spline و فیلتر پایین‌گذر استفاده گردید. در این تحقیق از فیلتر مشتق‌گیر پایین‌گذر در به دست آوردن شتاب GPS بهره گرفته شده است. همچنین از پنجره‌های مختلف فیلتر پایین‌گذر برای نرم کردن و حذف نویز شتاب‌های GPS و INS استفاده شده است.

در ثقل‌سنجی هوایی سنتی معادلات ناویگی در چارچوب ناویگی حل می‌گشت تا موقعیت INS به دست آید و از موقعیت و سرعت GPS به عنوان مقادیر به روزرسانی در فیلتر کالمون استفاده می‌شد تا خطاهای INS تخمین زده شود و نوسان شتاب ثقل^۱ به صورت یک مدل تصادفی مدل می‌شد. در سال ۲۰۰۱ کوان و جکلی روش جدیدی را برای ثقل‌سنجی هوایی توسعه دادند. در ثقل‌سنجی هوایی انجام شده توسط آنها از مقادیر شتاب GPS به عنوان مقدار به روزرسان استفاده می‌گردد. بخش مهم کار آنها این بود که از آنالیز باقیمانده فیلتر کالمون به عنوان تقریب نوسان شتاب ثقل استفاده می‌شود و به مدل شتاب ثقل تصادفی نیاز نیست. برای راحتی، تمام محاسبات در چارچوب اینرسی انجام می‌شود

^۱ Gravity Disturbance

۲- توسعه روش

همچنان که در بخش قبل ذکر گردید روش ثقل سنجی های ارائه شده در این مقاله، نیازمند طراحی فیلترهای مشتق‌گیر پایین‌گذر، پایین‌گذر با ضربه محدود و فیلتر کالمون می‌باشد. لذا در این بخش به نحوه طراحی این فیلترها اشاره می‌گردد.

۱-۱- طراحی فیلتر مشتق‌گیر پایین‌گذر

برای طراحی این فیلتر لازم است که پاسخ ضربه این فیلتر در حوزه زمان با استفاده از رابطه (۱) محاسبه گردد که در این رابطه $h(n)$ ضرایب فیلتر در حوزه زمان و n طول فیلتر می‌باشد. سپس این ضرایب به حوزه فرکانس برده می‌شود. مقادیر پاسخ ضربه این فیلتر در حوزه زمان برای طول ۲۱ و همچنین این ضرایب در حوزه فرکانس، در شکل (۲) نمایش داده شده است.

انتقال توابع سینوسی موجود درتابع پاسخ حوزه زمان فیلتر مشتق‌گیر به حوزه فرکانس و ضرب آن در تابع ورودی، باعث می‌شود که عمل مشتق‌گیری بر روی تابع ورودی در حوزه زمان صورت گیرد. این توابع علاوه بر ایجاد این خاصیت، به طور همزمان با عمل مشتق‌گیری، نویز را هم در حوزه زمان کاهش می‌دهند [۷].

رابطه (۱)

$$h(n) = -\frac{1}{2\pi} \int_{-\pi}^{\pi} \omega \sin(\omega n) d\omega = \begin{cases} \frac{\cos(\pi n)}{n}, & n \neq 0 \\ 0, & n = 0 \end{cases}$$

۲-۲- فیلتر پایین‌گذر با پاسخ ضربه محدود

فیلتر پایین‌گذر با پاسخ ضربه محدود^۷ که فیلتر غیربازگشتی^۸ و فیلتر پیچشی^۹ نیز نامیده می‌شود را می‌توان به‌طور خلاصه با رابطه (۲) تعریف نمود [۸].

برای به‌دست آوردن شتاب GPS لازم است که دو بار از موقعیت در چارچوب اینرسی مشتق‌گیری شود. این عمل مشتق‌گیری می‌تواند به روش‌های مختلفی صورت گیرد. روشی که در این تحقیق استفاده شده است روش فیلتر مشتق‌گیر پایین‌گذر^۱ است. بر خلاف مشتق‌گیری معمولی که سبب افزایش نویز می‌شود، این روش سبب کاهش نویز می‌گردد. شتاب حاصل از مشتق‌گیری با روش فیلتر مشتق‌گیر پایین‌گذر قابل مقایسه با شتاب حاصل از مشتق‌گیر B-Spline بوده و طراحی آن GPS به نسبت ساده‌تر می‌باشد. شتاب INS و شتاب GPS منتقل شده به چارچوب اینرسی همچنان دارای نویز می‌باشد و لازم است که با استفاده از روش‌های نرم‌کردن^۲، نویز آنها برطرف گردد. در این تحقیق از فیلترهای دیجیتال پایین‌گذر با پنجره‌های گوناگون جهت نرم‌کردن شتاب استفاده شده و نتایج آن با مقایسه گردیده است. همچنان این نتایج با شتاب نرم‌شده به روش B-Spline که در تحقیقات قبل انجام و منجر به شتاب ثقل با دقت میلی گال شده، مقایسه گردیده است. بعد از نرم‌سازی شتاب‌ها، برای به‌دست آوردن شتاب ثقل، شتاب INS از شتاب GPS کم می‌گردد و برای به‌دست آوردن نوسان شتاب ثقل، شتاب نرمال از شتاب ثقل کم می‌گردد. نوسان شتاب ثقل به‌دست آمده، آغشته به خطاهای مقیاس^۳ و اریب^۴ ناشی از INS است. لذا در این مقاله این خطاهای به‌وسیله اعمال فیلتر کالمون^۵ و انجام تناظریابی نهایی^۶، حذف گردید و در انتهای نوسان شتاب ثقل به‌دست آمده با نوسان شتاب ثقل نقاط کنترل که در اختیار است، مقایسه گردید.

^۱ Low-Pass Differentiator Filter

^۲ Smoothing

^۳ Scale

^۴ Bias

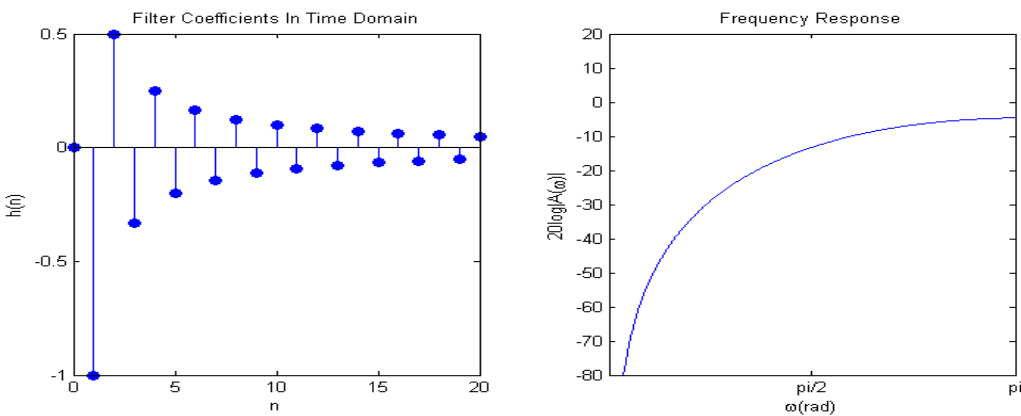
^۵ Kalman Filter

^۶ Endmatching

^۷ Finite Duration Impulse Response

^۸ Non-Recursive

^۹ Convolution



شکل ۲: فیلتر مشتق‌گیر در حوزه فرکانس و زمان

$$h(n) = \frac{\sin(\omega_c \pi n)}{\pi n} \quad \text{رابطه (۵)}$$

اگر از مقادیر $h(n)$ حاصل از رابطه (۵) که نامتناهی و متقارن است، در رابطه (۳) استفاده شود، آنگاه پاسخ فرکانسی حاصل از رابطه (۳) به مانند شکل (۳) مطلوب و ایده‌آل بوده و منطبق بر رابطه (۴) خواهد بود. در عمل داشتن یک دنباله غیر متناهی مانند رابطه (۵) غیر ممکن است و لذا از لحاظ عملی طراحی فیلتر به‌گونه‌ای که مطرح شد امکان پذیر نیست. به‌همین علت پاسخ ضربه رابطه (۵) به‌طور متقارن برش داده می‌شود تا پاسخ ضربه متناهی که تقریبی از پاسخ ایده‌آل است حاصل گردد. متاسفانه برش پاسخ ضربه متناهی در حوزه زمان نوسان‌هایی را به مانند شکل (۴) در دامنه پاسخ فرکانسی ایجاد می‌کند که پدیده گیبس^۲ نامیده می‌شود.

انجام برش گفته شده را می‌توان به وسیله ضرب کردن یک تابع مستطیلی $\omega(n)$ در پاسخ ضربه ایده‌آل نامتناهی $h_1(n)$ که از رابطه (۵) به‌دست می‌آید، به‌صورت رابطه (۶) انجام داد که $\omega(n)$ از رابطه (۷) به‌دست می‌آید. در شکل (۵) یک پاسخ ضربه محدود در حوزه زمان نمایش داده شده است.

$$h(n) = h_1(n)\omega(n) \quad \text{رابطه (۶)}$$

$$\omega(n) = \begin{cases} 1 & , |n| \leq N \\ 0 & , |n| > N \end{cases} \quad \text{رابطه (۷)}$$

² Gibbs phenomenon

رابطه (۲)

$$y(n) = \sum_{m=-N}^N h(m)x(n-m) = h(n) * x(n) \quad \text{در این رابطه } x(n) \text{ ورودی سیستم و } (n)$$

پاسخ ضربه با طول N می‌باشد. در دوره زمانی نامحدود اگر پاسخ ضربه فیلتر حول مبدأ متقارن باشد، آن‌گاه بزرگی پاسخ فرکانسی در حوزه فرکانس به صورت رابطه (۳) است [۷].

رابطه (۳)

$$H(\omega) = \sum_{-\infty}^{\infty} h(n)e^{-j\omega n} = h_0 + \sum_{n=1}^{\infty} 2h_n \cos(\omega n) \quad \text{در ثقل‌سنجدی هواپی مقادیر شتاب ثقل نهایی}$$

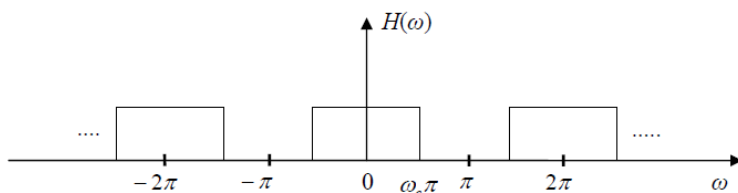
دارای فرکانس پایین و مقادیر نویز آن دارای فرکانس بالا می‌باشند لذا با طراحی یک فیلتر پایین‌گذر مناسب می‌توان نویز را حذف کرده و شتاب ثقل را به‌دست آورد. در حوزه فرکانس بزرگی یا اندازه چنین فیلتر پایین‌گذر مطلوب و دلخواهی در دامنه فرکانسی

از رابطه (۴) به‌دست می‌آید.

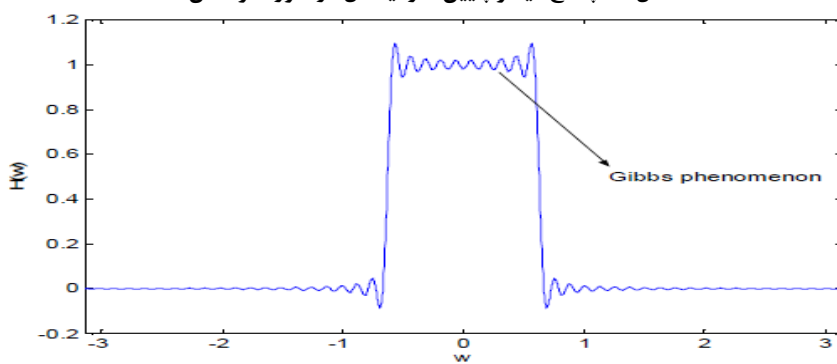
$$H(\omega) = \begin{cases} 1 & , -\omega_c \pi < \omega < \omega_c \pi \\ 0 & , \text{otherwise} \end{cases} \quad \text{رابطه (۴)}$$

در این رابطه ω_c فرکانس برش^۱ فیلتر می‌باشد. از این رابطه می‌توان $h(n)$ یعنی ضرایب فیلتر در حوزه زمان را به‌صورت رابطه (۵) به‌دست آورد.

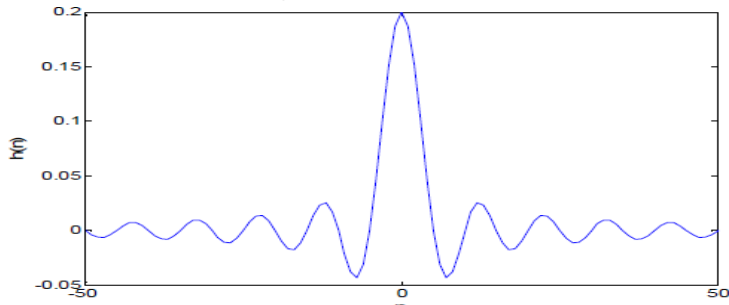
¹ Cutoff



شکل ۳ : پاسخ فیلتر پایین‌گذر ایده‌آل در حوزه فرکانس [۷]



شکل ۴ : پدیده گیبس [۷]



شکل ۵ : یک پاسخ ضربه محدود در حوزه زمان [۷]

۱- پنجره بارتلت^۱:

رابطه (۹)

$$W(n) = \begin{cases} \frac{2(n+1)}{N+1}, & n = 0, 1, 2, \dots, \frac{N-1}{2} \\ 2 - \frac{2(n+1)}{N+1}, & n = \frac{N-1}{2}, \dots, N-1 \\ 0, & \text{otherwise} \end{cases}$$

۲- پنجره‌های کسینوسی تعمیم یافته (مستطیلی^۲، هنینگ^۳، همینگ^۴، بلکمن^۵):

ضرب یک تابع پنجره مستطیلی و پاسخ ضربه ایده‌آل در حوزه زمان، متناظر با کانولوشن این دو تابع در حوزه فرکانس می‌باشد (رابطه (۸)).

$$H(\omega) = H_1(\omega) * W(\omega) \quad \text{رابطه (۸)}$$

نوسان‌های قطعات باندی $W(\omega)$ پدیده گیبس را به وجود می‌آورد. بنابراین $W(\omega)$ ایده‌آل باید نرم بوده و نوسان نداشته باشد. پنجره مطلوب پنجره‌ای است که قطعات هر باند باریکتر باشد و نوسان قطعات باند کمتر باشد [۶]. به منظور کاهش پدیده گیبس چندین تابع پنجره‌ای متداول به صورت روابط (۹)، (۱۰) و (۱۱) وجود دارد [۷].

¹ Bartlett Window² Rectangular³ Hanning⁴ Hamming⁵ Blackman

$$W(n) = \begin{cases} a - b \cos\left(\frac{2\pi(n+1)}{N+1}\right) + c \cos\left(\frac{4\pi(n+1)}{N+1}\right), & n = 0, 1, 2, \dots, N-1 \\ 0, & \text{otherwise} \end{cases}, \quad \text{رابطه (10)}$$

۳- پنجره‌ی کایزر با پارامتر β :

$$W(n) = \begin{cases} \frac{I_0(\beta \sqrt{1 - (2(n+1)/(N+1))^2})}{I_0(\beta)}, & n = 0, 1, 2, \dots, N-1 \\ 0, & \text{otherwise} \end{cases}, \quad \text{رابطه (11)}$$

بارتلت و کایزر با پارامتر $\beta = 0.1$ نسبت به سایر پنجره‌ها بیشتر است. لذا انتظار می‌رود که با اعمال این پنجره‌ها بر روی شتاب‌های حاصل از GPS و INS نتایجی که به دست می‌آید نسبت به سایر پنجره‌ها دارای اثر گیمس بیشتری بوده و در نتیجه صحت کمتری داشته باشد. برای مقایسه سایر پنجره‌ها، باند عبور این پنجره‌ها در شکل (۷) بزرگنمایی شده است. همان‌طور که مشاهده می‌شود باند عبور پنجره‌های بلکمن و کایزر با پارامتر $10 = \beta$ و پنجره حاصلضرب هنینگ در بلکمن دارای نوسان کمتری نسبت به دو پنجره هنینگ و همینگ است. البته باند عبور پنجره حاصلضرب هنینگ در بلکمن دارای پهنای زیادی است که این امر باعث می‌شود این پنجره نسبت به پنجره‌های بلکمن و کایزر با پارامتر $10 = \beta$ دارای مزیت کمتری باشد.

پنجره کسینوسی تعمیم یافته دارای چهار فرم خاص است که به وسیله مقادیر مختلف پارامترهای a , b و c تفکیک می‌گردد که در جدول (۱) مقادیر این پارامترها برای هر یک از پنجره‌ها آورده شده است [۷]. در رابطه (۱۱)، I_0 تابع بسل^۱ می‌باشد که این تابع بر اساس پارامترهای β و طول فیلتر به دست می‌آید. وجود تابع بسل در این رابطه موجب می‌شود که طراحی پنجره کایزر نیازمند محاسبات بیشتر نسبت به سایر پنجره‌ها باشد.

جدول ۱: پارامترهای پنجره‌های کسینوسی تعمیم یافته [۷]

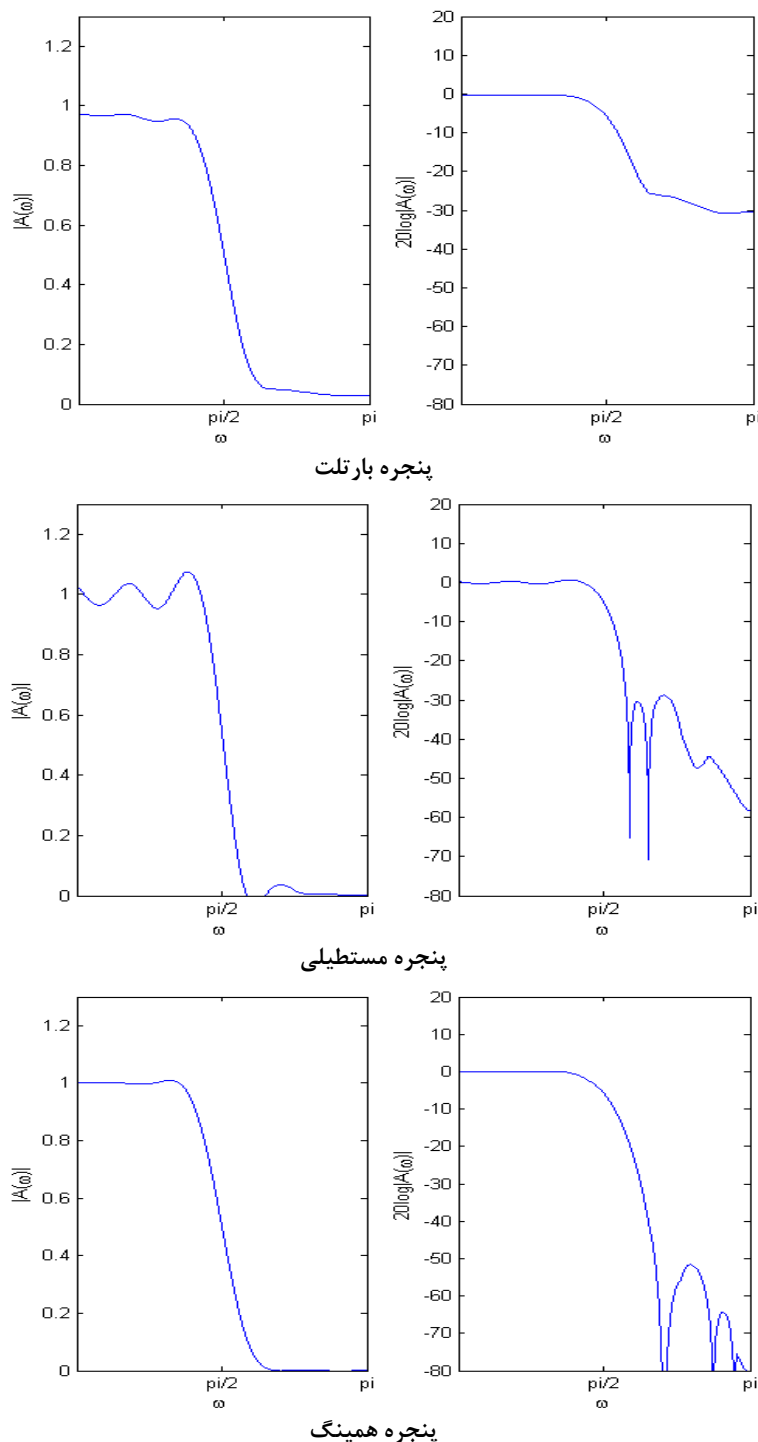
c	b	a	پنجره
.	.	۱	مستطیلی
.	۰/۵	۰/۵	هنینگ
.	۰/۴۶	۰/۵۴	همینگ
۰/۰۰۸	۰/۵	۰/۴۲	بلکمن

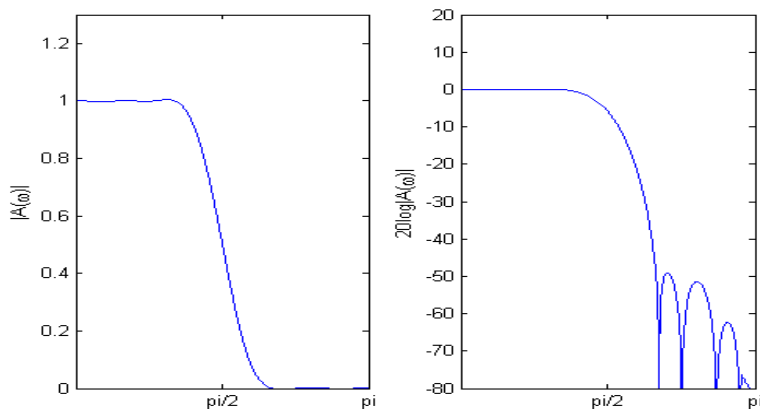
۱-۲-۲- نمایش پنجره‌های مختلف فیلتر

پایین گذر در حوزه فرکانس

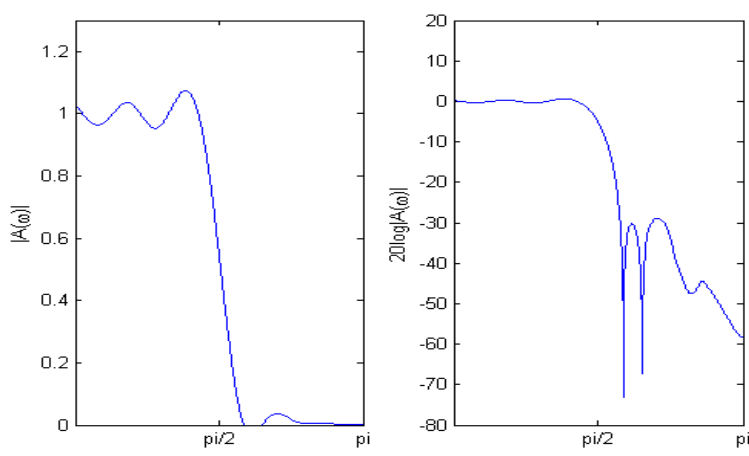
با توجه به مطالب مطرح شده در بخش ۲-۲ پنجره‌های مختلف فیلتر پایین گذر در حوزه فرکانس طراحی گردید. علاوه بر پنجره‌های مطرح شده در بخش ۲-۲، پنجره حاصلضرب پنجره هنینگ و بلکمن هم طراحی شد. این پنجره‌ها در شکل (۶) نمایش داده شده‌اند. همان‌طور که در شکل‌ها دیده می‌شود نوسان باند عبور پنجره‌های مستطیلی و

^۱ Bessel function

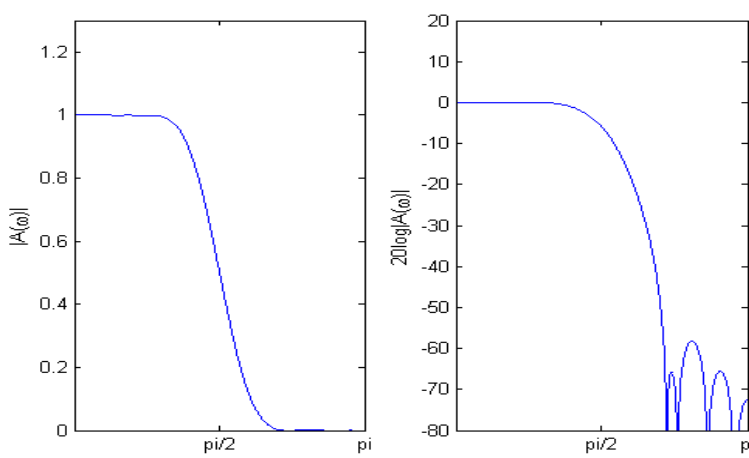




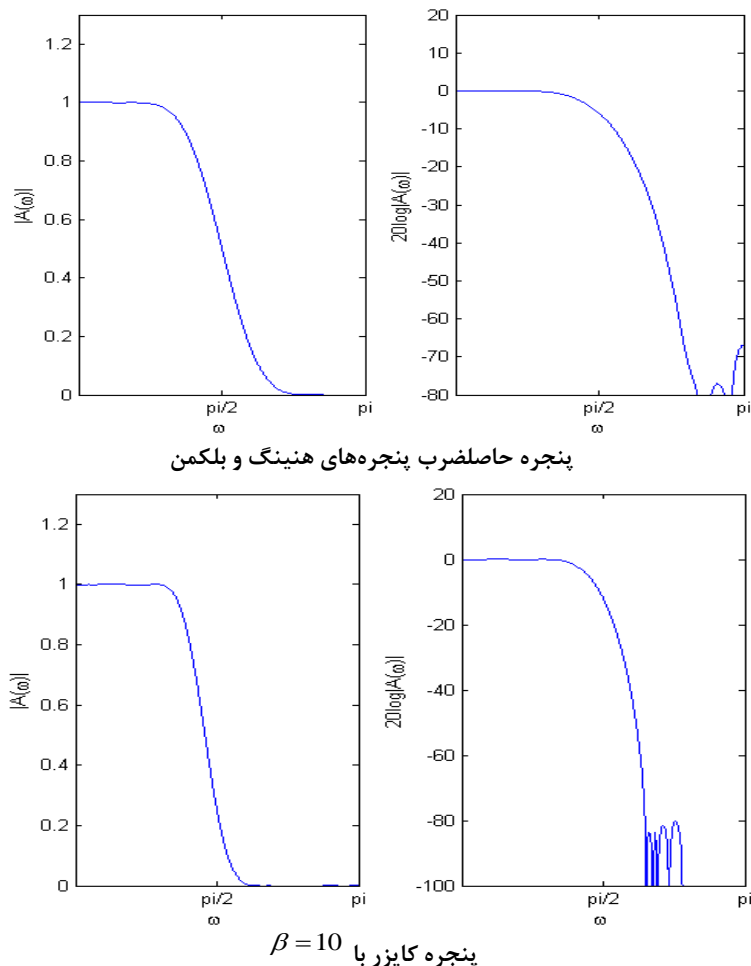
پنجره هینینگ



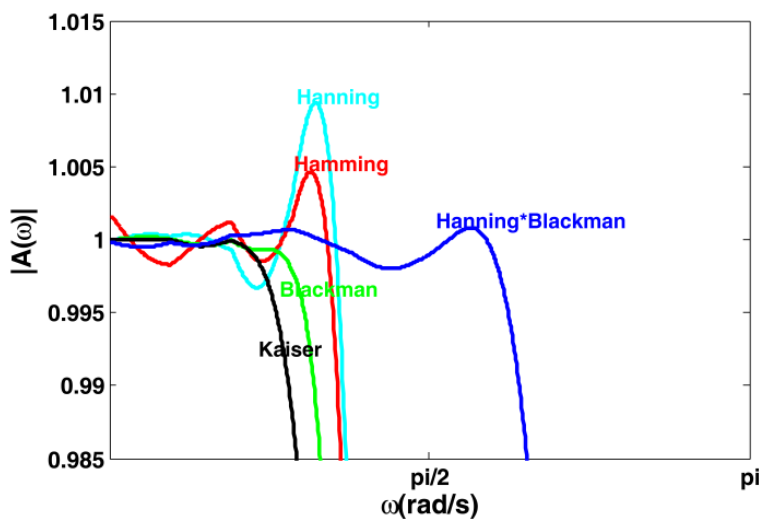
$\beta = 0.1$ با پنجره کایز



پنجره بلکمن



شکل ۶: نمایش پنجره‌های مختلف در حوزه فرکانس

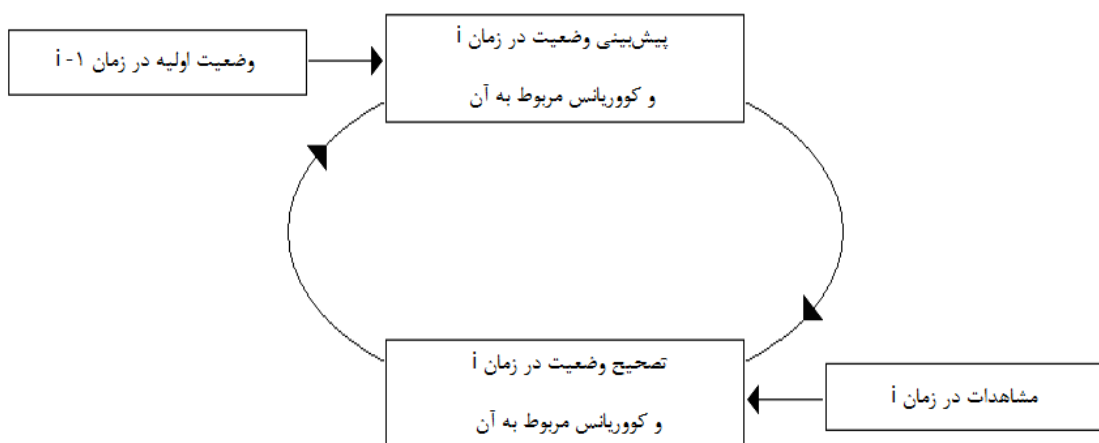


شکل ۷: مقایسه باند عبور پنجره‌های مختلف در حوزه فرکانس

الگوریتم‌های بازگشته می‌باشد. این فیلتر وضعیت یک سیستم دینامیک را تخمین می‌زند. فیلتر کالمن شامل دو مرحله پیش‌بینی و تصحیح می‌باشد (شکل (۸)). در مرحله اول، وضعیت با مدل دینامیکی پیش‌بینی شده و در مرحله دوم با استفاده از مدل مشاهده‌ای، مقدار حاصل از مرحله پیش‌بینی شده، تصحیح می‌گردد.

۳-۲- فیلتر کالمن و تناظریابی نهایی

به علت وجود خطاهای ژیرسکوپ و شتاب‌سنجه INS و خطای توجیه چارچوب جسمی نسبت به چارچوب اینرسی، نوسان شتاب ثقل حاصل دارای خطا خواهد بود که در دو مرحله طی اعمال فیلتر کالمن و تناظریابی نهایی از نوسان شتاب ثقل حذف می‌گردد. فیلتر کالمن، یک فیلتر پیشگو کننده بازگشته است که مبنای آن استفاده از اطلاعات فضای وضعیت و



شکل ۸: مراحل فیلتر کالمن

$$\mathbf{z} = \mathbf{Hx} + \mathbf{v} \quad \text{رابطه (۱۳)}$$

از آنجا بردار مشاهدات \mathbf{Z} ، خود دارای خطاهای ژیرسکوپ و شتاب‌سنجه INS و خطای توجیه چارچوب جسمی نسبت به چارچوب اینرسی است، لذا پس از اعمال فیلتر کالمن، این خطاهای به‌طور کامل از روی نوسان شتاب ثقل حذف نمی‌شوند و لازم است که طی فرآیند تناظریابی نهایی، میزان جدایی مقادیر نوسان شتاب ثقل از مقادیر کنترل زمینی کاهش یابد. برای این کار نقطه اول و آخر هر مسیر پروازی^۱ بر نقطه کنترل زمینی نظری منطبق شده و سایر مقادیر نوسان جاذبه به همین نسبت تغییر می‌یابد.

در این مقاله مدل دینامیکی مربوط به فیلتر کالمن به صورت رابطه (۱۲) است که در این رابطه \mathbf{W} بردار نویز سفید و \mathbf{x} بردار مجہولات است که به صورت یک بردار ۱۵ در ۱ بوده و شامل ۳ خطای اریب شتاب‌سنجه، ۳ خطای اریب ژیرسکوپ، ۳ خطای ضریب مقیاس شتاب‌سنجه، ۳ خطای ضریب مقیاس ژیرسکوپ و ۳ خطای مربوط به توجیه چارچوب جسمی نسبت به چارچوب اینرسی می‌باشد.

$$\dot{\mathbf{x}} = \mathbf{Fx} + \mathbf{Gw} \quad \text{رابطه (۱۲)}$$

مدل مشاهده‌ای مربوط به فیلتر کالمن در این مقاله نیز به صورت رابطه (۱۳) است که در آن ۷ بردار نویز سفید و \mathbf{Z} بردار مشاهدات است که از کم کردن مجموع شتاب INS نرم شده و شتاب نرمال از شتاب GPS نرم شده حاصل می‌گردد. جزئیات مربوط به ماتریس‌های \mathbf{F} ، \mathbf{G} و \mathbf{H} را می‌توان در مقاله سال ۲۰۱۰ شکیبای‌صنوبیری یافت [۱۰].

^۱ Flight Trajectory

۳- نتایج عددی

داده‌هایی که در این مقاله استفاده شده است داده‌های INS و GPS کوهستان راکی است که توسط دانشگاه کلگری در سه مسیر پروازی برداشت شده است. داده‌های INS شامل اطلاعات مربوط به ژیرسکوپ و شتاب‌سنج می‌باشد و فاصله زمانی این داده‌ها 0.02 ثانیه است. داده‌های GPS هم اطلاعاتی به صورت طول و عرض جغرافیایی و ارتفاع ژئودتیک در چارچوب مرجع WGS84 می‌باشند و فاصله زمانی آنها 0.5 ثانیه است. در این بخش فیلتر مشتق‌گیر پایین‌گذر، فیلتر با پاسخ ضربه محدود با پنجره‌های مختلف و فیلتر کالمون بر این داده‌ها اعمال شده است تا در نهایت شتاب ثقل و نوسان شتاب ثقل به روش گفته شده در بخش قبلی حاصل گردد.

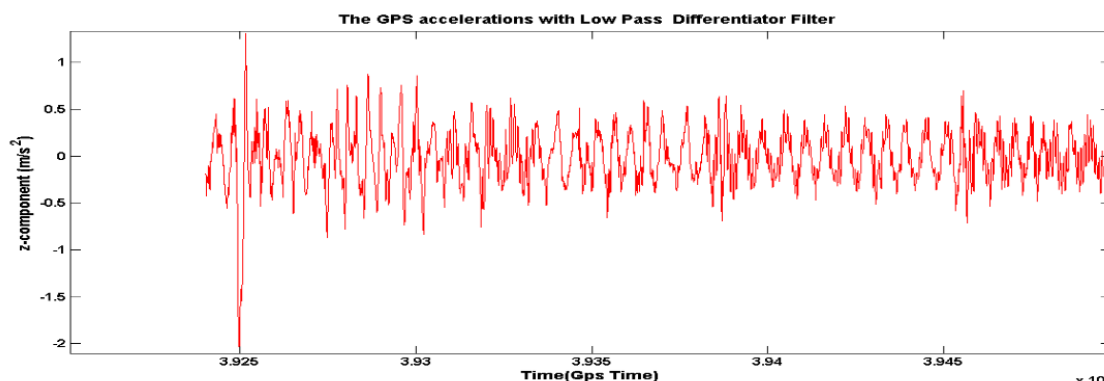
۳-۱- محاسبه شتاب GPS با استفاده از فیلتر

مشتق‌گیر پایین‌گذر

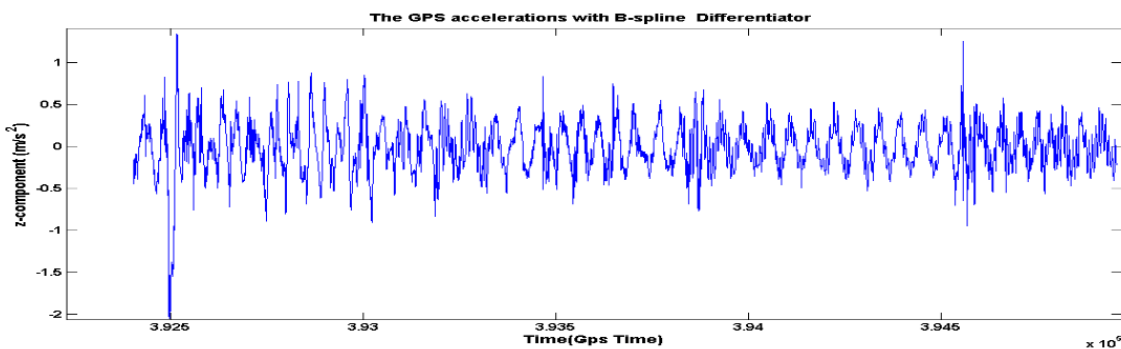
در این تحقیق داده‌های GPS به صورت طول و عرض جغرافیایی و ارتفاع ژئودتیک در چارچوب مرجع WGS84 می‌باشد. لذا همانطور که گفته شد این داده‌ها می‌بایست به چارچوب اینرسی منتقل گردد و سپس دو بار عمل مشتق‌گیری انجام گردد تا شتاب GPS به دست آید. با اعمال دو بار فیلتر مشتق‌گیر پایین‌گذر طراحی شده در بخش قبلی بر روی داده‌های

$$\text{رابطه (۱۴)} \quad \text{Corr}(f_1, f_2) = \frac{1}{1 + \|f_1 - f_2\|_{L^2}} \times 100$$

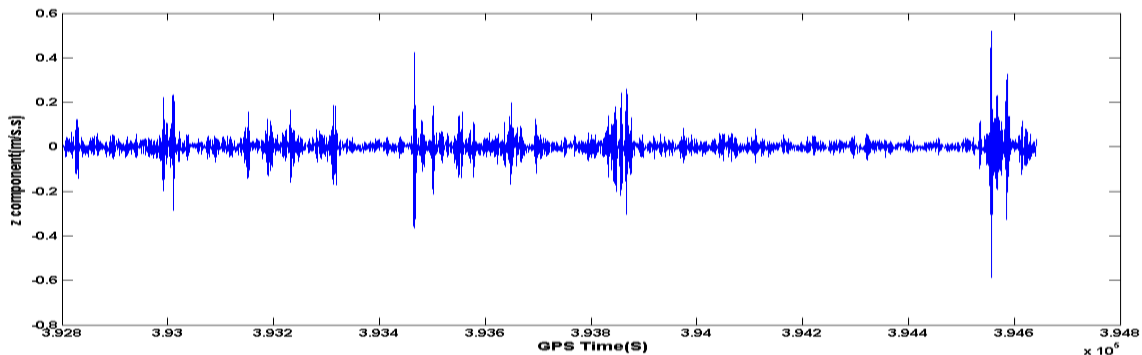
با محاسبه درصد تطابق با استفاده از رابطه (۱۴)، میزان تطابق دو سیگنال فوق در راستای z در مسیر پرواز شماره ۱ مقدار 97.45% و در مسیر پرواز دوم 97.30% و در مسیر پرواز سوم برابر با 97.87% می‌باشد که این مقادیر نشان دهنده انتظام بسیار بالای دو سیگنال حاصل از دو روش بر هم می‌باشد.



شکل ۹ : مولفه z شتاب GPS به دست آمده با استفاده از فیلتر پایین‌گذر مشتق‌گیر در چارچوب اینرسی در مسیر پروازی اول



شکل ۱۰: مولفه z شتاب GPS به دست آمده با استفاده از مشتق‌گیر B-Spline در چارچوب اینرسیال در مسیر پروازی اول [۱۱]



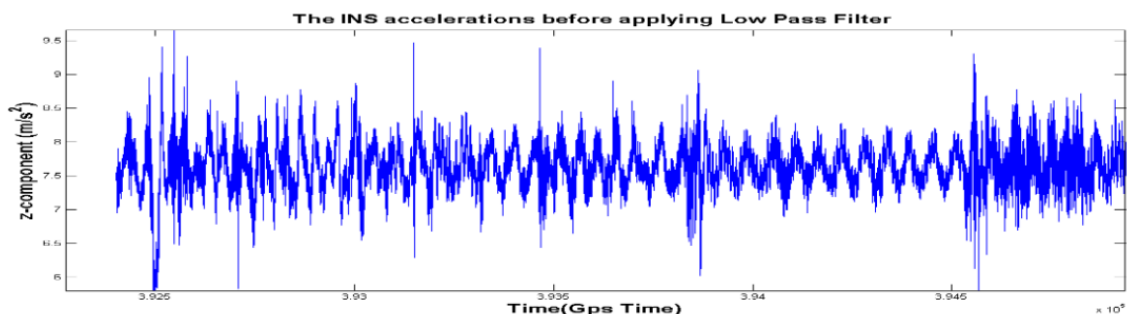
شکل ۱۱: تفاضل مولفه z شتاب GPS با استفاده از دو روش فیلتر پایین گذار مشتق‌گیر و مشتق‌گیر B-Spline در مسیر پروازی اول

به دست آمده است. برای مسیر پرواز اول مولفه z شتاب INS قبل از اعمال فیلتر پایین گذار در شکل (۱۲) و بعد از اعمال فیلتر پایین گذار با پنجره‌های مختلف و مشتق‌گیر فیلتر B-spline در شکل (۱۳) نمایش داده شده است. در جداول (۲، ۴، ۳، ۵، ۶، ۷، ۸، ۹ و ۱۰) برای سه مسیر پروازی، مولفه z شتاب INS بعد از اعمال فیلتر پایین گذار با پنجره‌های مختلف با نتایج اعمال فیلتر B-spline با هم مقایسه گردیده است. برای مسیر پرواز اول مولفه z شتاب GPS قبل از اعمال فیلتر پایین گذار در شکل (۱۴) و بعد از اعمال فیلتر پایین گذار با پنجره‌های مختلف و با فیلتر B-spline در شکل (۱۵) نمایش داده شده است. در جداول (۱۰، ۱۱، ۱۲، ۱۳، ۱۴، ۱۵، ۱۶، ۱۷ و ۱۸) برای سه مسیر پروازی مولفه z شتاب GPS بعد از اعمال فیلتر پایین گذار با پنجره‌های مختلف با نتایج اعمال فیلتر B-spline با هم مقایسه گردیده است. اعمال فیلتر پایین گذار با پنجره‌های مختلف برای مولفه‌های x و y نیز منجر به نتایج مشابه گردید.

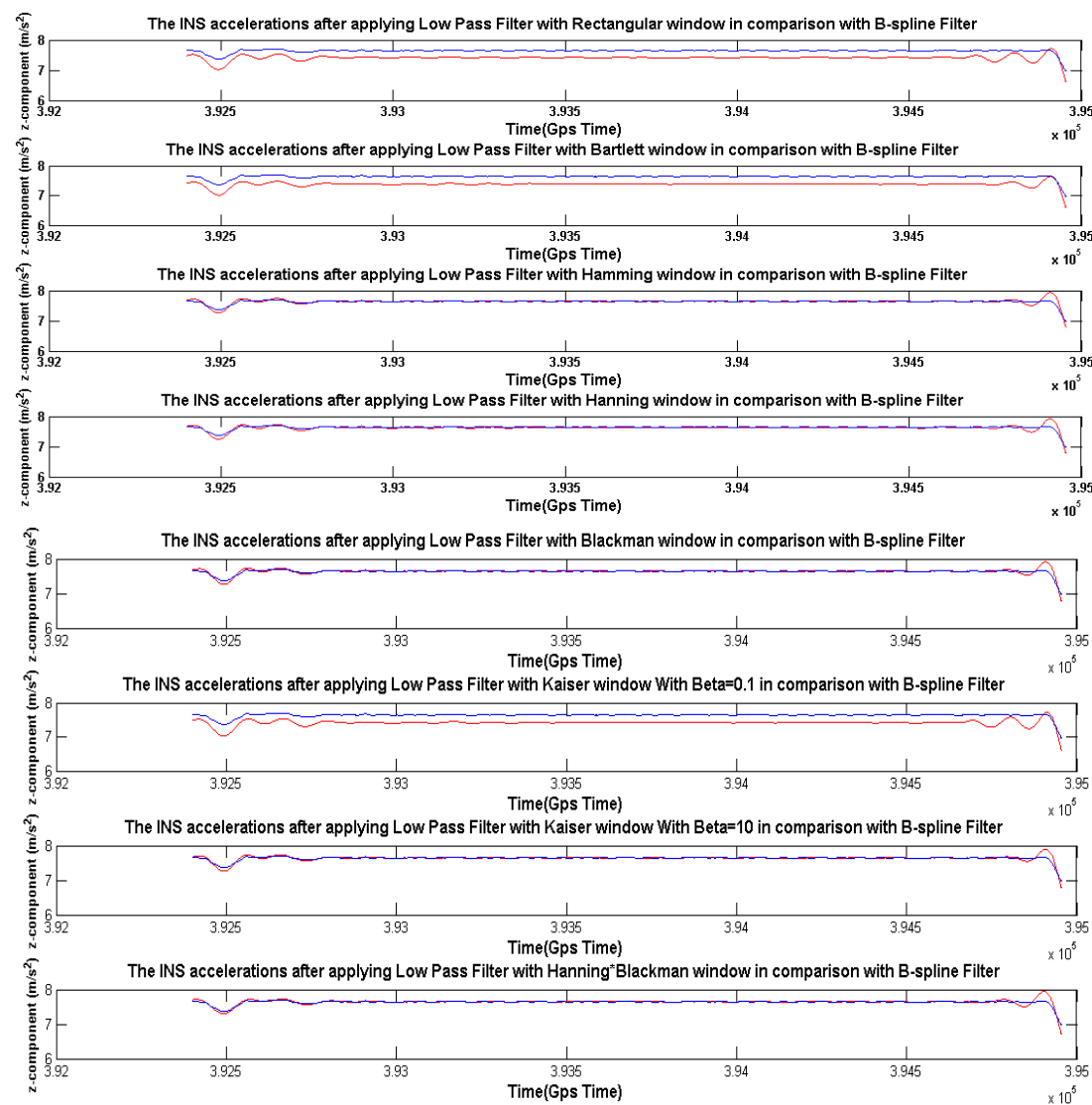
۲-۳- حذف نویز شتاب‌های GPS و INS با استفاده از فیلترهای پایین گذار با پنجره‌های مختلف

در این بخش به بررسی اثر هر یک از این پنجره‌ها بر روی شتاب‌های حاصل از INS و GPS می‌پردازیم. در تحقیق‌های پیشین فیلتر B-Spline بر روی شتاب‌های GPS و INS اعمال شده و در نهایت شتاب ثقلی با دقت میلی‌گال به دست آمده است. لذا در این تحقیق پس از اعمال هر یک از پنجره‌ها بر روی این شتاب‌ها، نتیجه با روش B-Spline مقایسه می‌گردد. از پارامتر ریشه میانگین مربع خطاهای^۱ جهت بررسی میزان انطباق نتایج اعمال هر یک از پنجره‌ها با نتیجه با روش B-Spline استفاده گردید. شتاب‌های INS و GPS در چارچوب اینرسی در سه جهت x و y و z با توجه مطالب گفته شده

^۱ Root Mean Square Error: RMSE



شکل ۱۲: شتاب INS قبل از اعمال فیلتر پایین‌گذر در مسیر پروازی اول



شکل ۱۳: شتاب INS بعد از اعمال فیلتر پایین‌گذر با پنجره‌های مختلف (رنگ قرمز) و فیلتر B-spline (رنگ آبی) در مسیر پروازی اول

جدول ۶ : مقایسه فیلتر پایین‌گذر با پنجره بلکمن و روش
بی‌اسپلاین در سه مسیر پروازی

مسیر شماره	درصد تطابق	RMSE(Gal)
۱	۹۸,۲۳	۰,۰۱۹۱
۲	۹۸,۴۹	۰,۰۱۶۳
۳	۹۸,۴۹	۰,۰۱۶۳
میانگین	۹۸,۴۰۳۳	۰,۰۱۷۲

جدول ۷ : مقایسه فیلتر پایین‌گذر با پنجره کایزر با
پارامتر $\beta = 0,1$ و روش بی‌اسپلاین در سه مسیر پروازی

مسیر شماره	درصد تطابق	RMSE(Gal)
۱	۸۱,۸۹	۰,۲۲۲۹
۲	۸۱,۸۰	۰,۲۲۵۲
۳	۸۱,۵۷	۰,۲۲۷۴
میانگین	۸۱,۷۵۳۳	۰,۲۲۵۲

جدول ۸ : مقایسه فیلتر پایین‌گذر با پنجره کایزر با
پارامتر $\beta = 10$ و روش بی‌اسپلاین در سه مسیر پروازی

مسیر شماره	درصد تطابق	RMSE(Gal)
۱	۹۸,۲۸	۰,۰۱۸۴
۲	۹۸,۵۶	۰,۰۱۵۴
۳	۹۸,۹۵	۰,۰۱۱۰
میانگین	۹۸,۶۰	۰,۰۱۴۹

جدول ۹ : مقایسه فیلتر پایین‌گذر با پنجره حاصل‌ضرب
پنجره‌های هنینگ و بلکمن و روش بی‌اسپلاین در سه مسیر
پروازی

مسیر شماره	درصد تطابق	RMSE(Gal)
۱	۹۸,۲۱	۰,۰۱۹۳
۲	۹۸,۰۴	۰,۰۲۱۷
۳	۹۸,۶۳	۰,۰۱۴۶
میانگین	۹۸,۲۹۳۳	۰,۰۱۸۵

جدول ۲ : مقایسه فیلتر پایین‌گذر با پنجره مستطیلی و
روش بی‌اسپلاین در سه مسیر پروازی

مسیر شماره	درصد تطابق	RMSE(Gal)
۱	۸۱,۸۸	۰,۲۴۸۱
۲	۸۳,۶۵	۰,۲۱۵۸
۳	۸۴,۰۴	۰,۲۰۷۵
میانگین	۸۳,۱۹	۰,۲۲۳۸

جدول ۳ : مقایسه فیلتر پایین‌گذر با پنجره بارتلت و روش
بی‌اسپلاین در سه مسیر پروازی

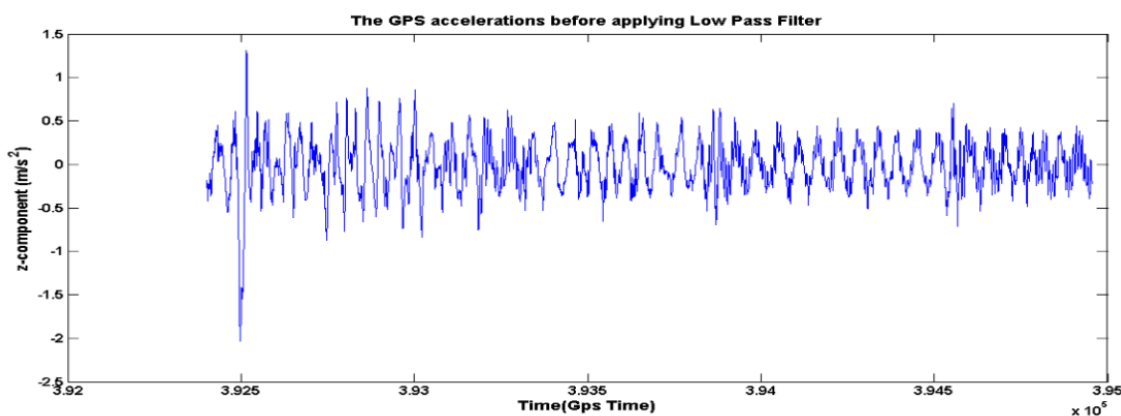
مسیر شماره	درصد تطابق	RMSE(Gal)
۱	۷۹,۸۰	۰,۲۵۴۴
۲	۷۹,۶۸	۰,۲۵۶۳
۳	۷۹,۴۳	۰,۲۵۹۴
میانگین	۷۹,۶۳۶۷	۰,۲۵۶۷

جدول ۴ : مقایسه فیلتر پایین‌گذر با پنجره هنینگ و روش
بی‌اسپلاین در سه مسیر پروازی

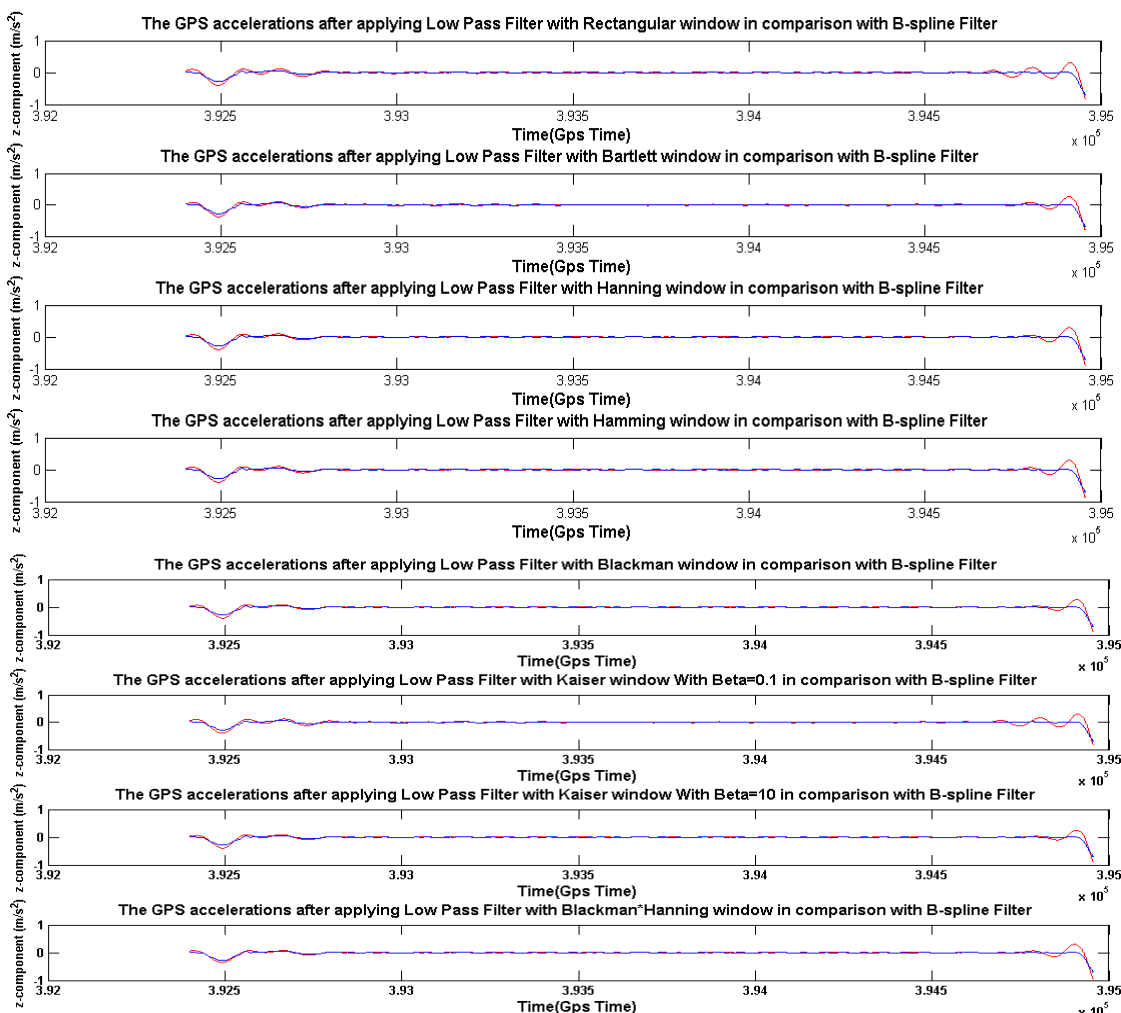
مسیر شماره	درصد تطابق	RMSE(Gal)
۱	۹۸,۰۷	۰,۰۲۰۹
۲	۹۸,۲۷	۰,۰۱۸۹
۳	۹۸,۷۸	۰,۰۱۲۸
میانگین	۹۸,۳۷۳۳	۰,۰۱۷۵

جدول ۵ : مقایسه فیلتر پایین‌گذر با پنجره همینگ و روش
بی‌اسپلاین در سه مسیر پروازی

مسیر شماره	درصد تطابق	RMSE(Gal)
۱	۹۷,۴۴	۰,۰۲۷۴
۲	۹۷,۴۵	۰,۰۲۷۴
۳	۹۸,۰۱	۰,۰۲۰۹
میانگین	۹۷,۶۳۳۳	۰,۰۲۵۳



شکل ۱۴: شتاب GPS قبل از اعمال فیلتر پایین‌گذار در مسیر پروازی اول



شکل ۱۵: شتاب GPS بعد از اعمال فیلتر پایین‌گذار با پنجره‌های مختلف (رنگ قرمز) و فیلتر B-spline (رنگ آبی) در مسیر پروازی اول

جدول ۱۴ : مقایسه فیلتر پایین‌گذر با پنجره بلکمن و روش
بی‌اسپلاین در سه مسیر پروازی

مسیر شماره	درصد تطابق	RMSE(Gal)
۱	۹۸,۱۹	۰,۰۱۹۴
۲	۹۸,۴۶	۰,۰۱۶۶
۳	۹۸,۹۰	۰,۰۱۱۵
میانگین	۹۸,۵۲	۰,۰۱۵۸

جدول ۱۵ : مقایسه فیلتر پایین‌گذر با پنجره کایزر با
پارامتر $\beta = 0.1$ و روش بی‌اسپلاین در سه مسیر پروازی

مسیر شماره	درصد تطابق	RMSE(Gal)
۱	۹۷,۴۲	۰,۰۲۸۳
۲	۹۷,۲۵	۰,۰۳۰۷
۳	۹۷,۸۹	۰,۰۲۲۸
میانگین	۹۷,۵۲	۰,۰۲۷۳

جدول ۱۶ : مقایسه فیلتر پایین‌گذر با پنجره کایزر با
پارامتر $\beta = 10$ و روش بی‌اسپلاین در سه مسیر پروازی

مسیر شماره	درصد تطابق	RMSE(Gal)
۱	۹۸,۲۵	۰,۰۱۸۸
۲	۹۸,۵۵	۰,۰۱۵۶
۳	۹۸,۹۳	۰,۰۱۱۱
میانگین	۹۸,۵۹	۰,۰۱۵۲

جدول ۱۷ : مقایسه فیلتر پایین‌گذر با پنجره حاصل‌ضرب
پنجره‌های همینگ و بلکمن و روش بی‌اسپلاین در سه
مسیر پروازی

مسیر شماره	درصد تطابق	RMSE(Gal)
۱	۹۸,۲۰	۰,۰۱۹۵
۲	۹۸,۰۲	۰,۰۲۲۰
۳	۹۸,۶۳	۰,۰۱۴۶
میانگین	۹۸,۳۰	۰,۰۱۸۷

جدول ۱۰ : مقایسه فیلتر پایین‌گذر با پنجره مستطیلی و
روش بی‌اسپلاین در سه مسیر پروازی

مسیر شماره	درصد تطابق	RMSE(Gal)
۱	۹۷,۴۲	۰,۰۲۸۳
۲	۹۷,۲۵	۰,۰۳۰۷
۳	۹۷,۸۹	۰,۰۲۲۸
میانگین	۹۷,۵۲	۰,۰۲۷۳

جدول ۱۱ : مقایسه فیلتر پایین‌گذر با پنجره بارتلت و روش
بی‌اسپلاین در سه مسیر پروازی

مسیر شماره	درصد تطابق	RMSE(Gal)
۱	۹۸,۰۱	۰,۰۲۱۳
۲	۹۸,۱۷	۰,۰۱۹۷
۳	۹۸,۶۵	۰,۰۱۴۱
میانگین	۹۸,۲۸	۰,۰۱۸۴

جدول ۱۲ : مقایسه فیلتر پایین‌گذر با پنجره همینگ و
روش بی‌اسپلاین در سه مسیر پروازی

مسیر شماره	درصد تطابق	RMSE(Gal)
۱	۹۸,۰۵	۰,۰۲۱۲
۲	۹۸,۲۴	۰,۰۱۹۳
۳	۹۸,۷۷	۰,۰۱۲۹
میانگین	۹۸,۳۵	۰,۰۱۷۸

جدول ۱۳ : مقایسه فیلتر پایین‌گذر با پنجره همینگ و
روش بی‌اسپلاین در سه مسیر پروازی

مسیر شماره	درصد تطابق	RMSE(Gal)
۱	۹۸,۰۱	۰,۰۲۱۵
۲	۹۸,۱۹	۰,۰۱۹۸
۳	۹۸,۷۳	۰,۰۱۳۴
میانگین	۹۸,۳۱	۰,۰۱۸۲

محاسبه شد. همان‌طور که در بخش (۳-۲) مطرح گردید نوسان شتاب ثقل اسکالر به دست آمده آغشته به خطاهای اریب و ضریب مقیاس ژیرسکوپ و شتاب‌سنچ و خطای توجیه چارچوب جسمی نسبت به چارچوب اینرسی می‌باشد لذا لازم است که با استفاده از فیلتر کالمون مقادیر این خطاهای برآورد و به نوسان شتاب ثقل اسکالر اعمال گردد و سپس طی فرآیند تناظریابی نهایی، میزان جدایی مقادیر نوسان شتاب ثقل از مقادیر کنترل زمینی کاوش یابد. در شکل (۱۶) نوسان شتاب ثقل اسکالر محاسبه شده قبل از اعمال فیلتر کالمون و تناظریابی نهایی (رنگ قرمز)، نوسان شتاب ثقل اسکالر محاسبه شده بعد از اعمال فیلتر کالمون و قبل از تناظریابی نهایی (رنگ آبی)، نوسان شتاب ثقل بعد از اعمال فیلتر کالمون و تناظریابی نهایی (رنگ سبز) و نوسان شتاب ثقل نقاط کنترل (رنگ مشکی خط‌چین) در مسیر پرواز اول نشان داده شده است. نوسان شتاب ثقل اسکالر محاسبه شده با پنجره‌های مختلف قبل و بعد از اعمال فیلتر کالمون و تناظریابی نهایی و نوسان شتاب ثقل اسکالر نقاط کنترل در مسیر پروازی (۱) در اشکال (۱۷، ۱۸، ۱۹، ۲۰، ۲۱، ۲۲، ۲۳، ۲۴ و ۲۵) نمایش داده شده است. همچنین نوسان شتاب ثقل اسکالار روش B-spline و نوسان شتاب ثقل اسکالر نقاط کنترل در شکل (۲۵) نشان داده شده است.

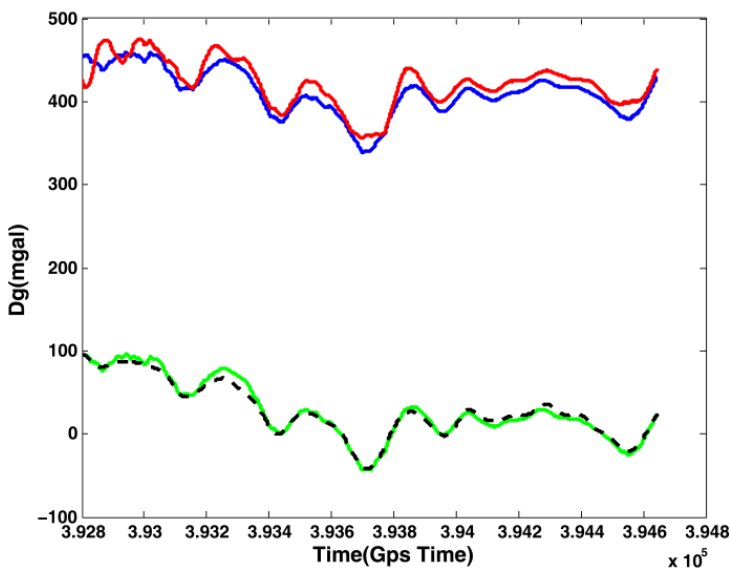
با توجه به نتایج به دست آمده فیلتر پایین‌گذر با پنجره کایزر با پارامتر $\beta = 0.1$ کمترین RMSE و بیشترین درصد تطابق با روش بی‌اسپیلاین را دارا می‌باشد. پس از آن فیلتر پایین‌گذر با پنجره بلکمن کمترین مقدار RMSE و بیشترین درصد تطابق را دارد. پنجره‌های هنینگ و حاصلضرب هنینگ در بلکمن هم پس از این دو پنجره قرار دارند و از آن‌ها نیز نتایج بسیار خوبی به دست می‌آید. اما همان‌طور که دیده می‌شود پنجره‌های مستطیلی، بارتلت، پنجره کایزر با پارامتر $\beta = 0.1$ کمترین درصد تطابق و بیشترین مقدار RMSE را دارا می‌باشند. همچنان که دیده می‌شود همه این نتایج با آنچه در بحث طراحی پنجره‌های مختلف ذکر شد تطابق دارد. با اعمال فیلتر پایین‌گذر با پنجره‌های مختلف ذکر شده بر روی شتاب INS و GPS در دیگر جهت‌ها و مقایسه آن با روش B-spline نتایجی مشابه همین نتایج حاصل می‌گردد. در نهایت با تفاضل شتاب‌های GPS و INS شتاب ثقل زمین حاصل می‌گردد.

۳-۳-۱- اعمال فیلتر کالمون و تناظریابی نهایی نوسان شتاب ثقل

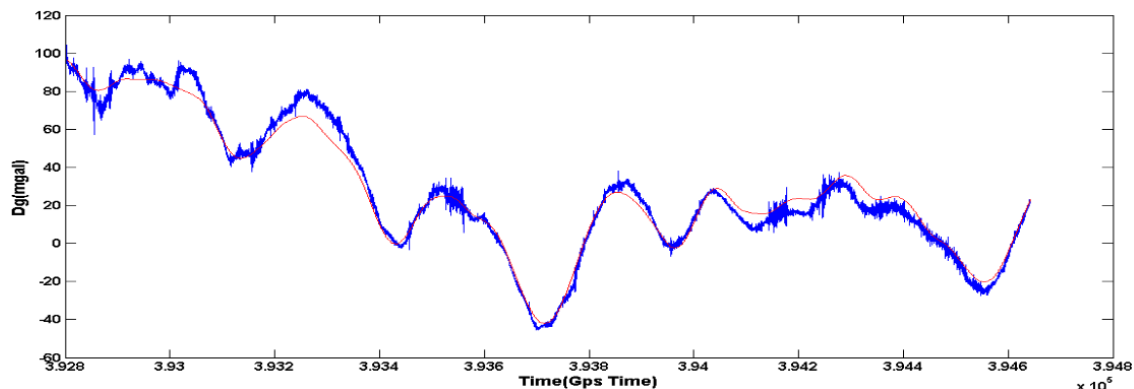
از آنجایی که نوسان شتاب ثقل نقاط کنترل موجود می‌باشد لذا برای مقایسه نتایج نهایی بایستی نوسان شتاب ثقل به دست آید. شتاب ثقل حاصل از تفاضل شتاب INS و شتاب GPS ابتدا با تبدیل سیستم مختصات از چارچوب اینرسی به چارچوب ناوی برده شده و سپس شتاب نرمال که از فرمول سیموجلیانا^۱ به دست می‌آید از آن کم می‌شود تا نوسان شتاب ثقل محاسبه گردد [۱۲]. با انجام این کار مقدار نوسان شتاب ثقل در راستای پایین^۲ چارچوب ناوی بری که نوسان شتاب ثقل اسکالر نامیده می‌شود،

¹ Somigliana Formula

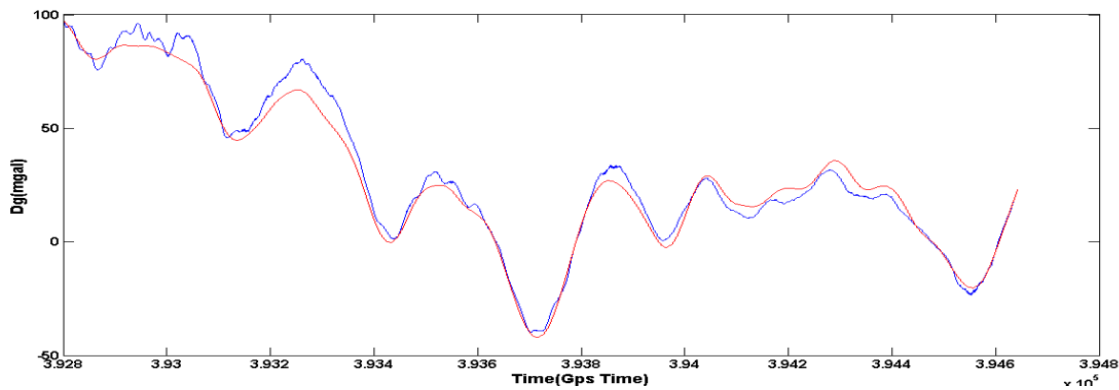
² Down Direction



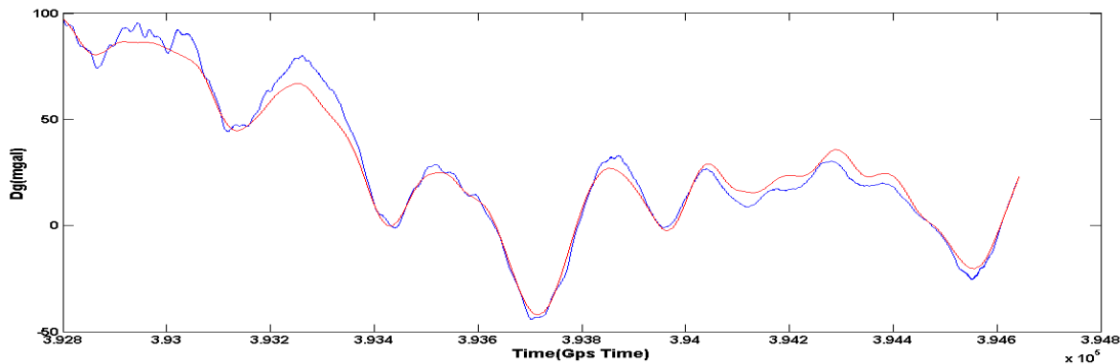
شکل ۱۶: نوسان شتاب ثقل اسکالر محاسبه شده قبل از اعمال فیلتر کالمن و تناظریابی نهایی (رنگ قرمز)، نوسان شتاب ثقل اسکالر محاسبه شده بعد از اعمال فیلتر کالمن و قبل از تناظریابی نهایی (رنگ آبی)، نوسان شتاب ثقل بعد از اعمال فیلتر کالمن و تناظریابی نهایی (رنگ سبز) و نوسان شتاب ثقل نقاط کنترل (رنگ مشکی خط‌چین) در مسیر پرواز اول



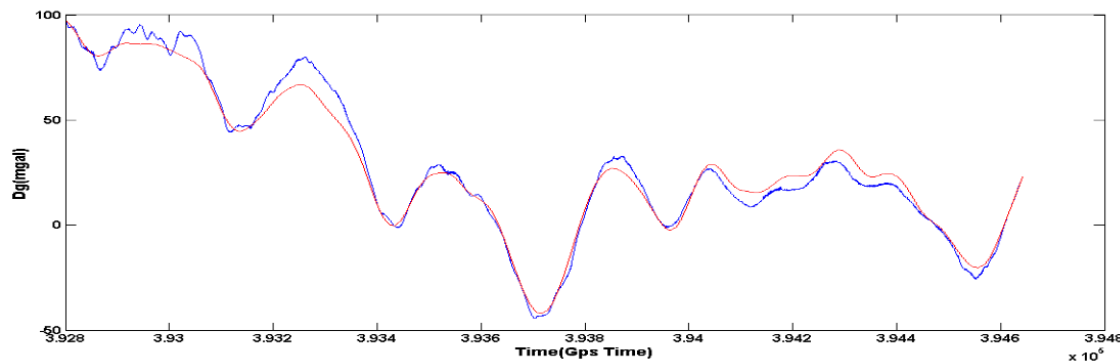
شکل ۱۷: نوسان شتاب ثقل اسکالر محاسبه شده با استفاده از فیلتر پایین‌گذار پس از اعمال فیلتر کالمن و تناظریابی نهایی (رنگ آبی) و نوسان شتاب ثقل نقاط کنترل (رنگ قرمز) در مسیر پرواز اول



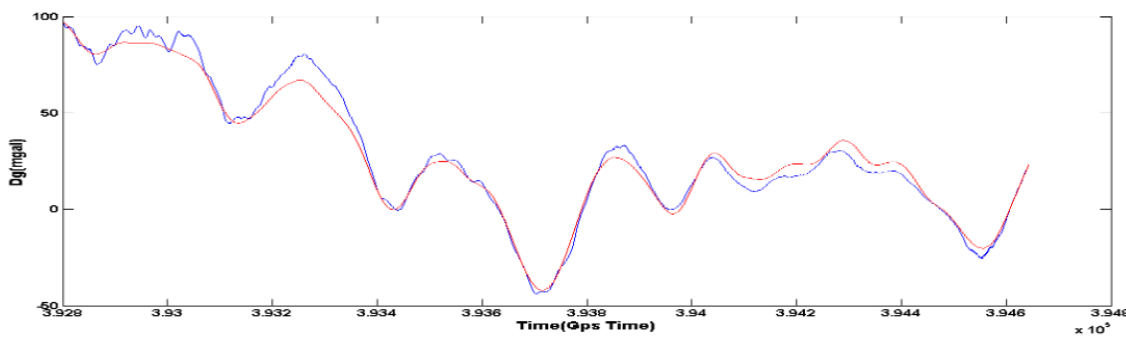
شکل ۱۸: نوسان شتاب ثقل اسکالر محاسبه شده با استفاده از فیلتر پایین‌گذار پس از اعمال فیلتر کالمن و تناظریابی نهایی (رنگ آبی) و نوسان شتاب ثقل نقاط کنترل (رنگ قرمز) در مسیر پرواز اول



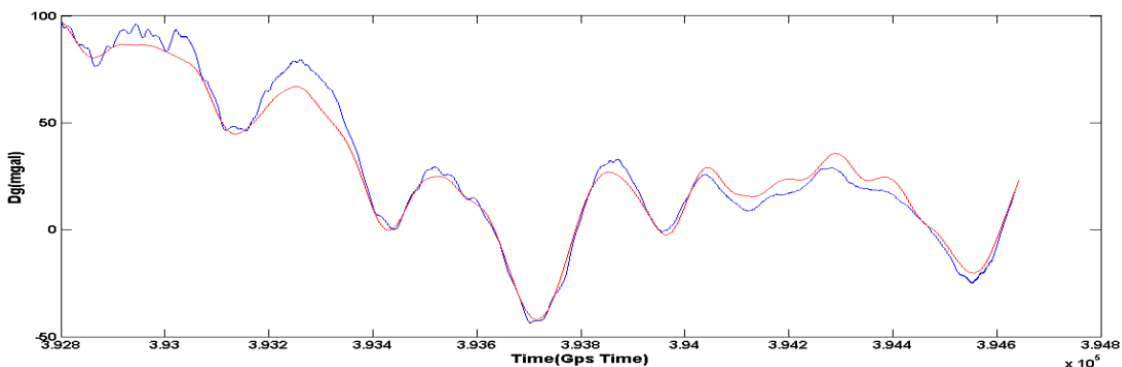
شکل ۱۹: نوسان شتاب ثقل اسکالار محاسبه شده با استفاده از فیلتر پایین گذر با پنجره همینگ بعد از اعمال فیلتر کالمن و تناظریابی نهایی (رنگ آبی) و نوسان شتاب ثقل نقاط کنترل (رنگ قرمز) در مسیر پرواز اول



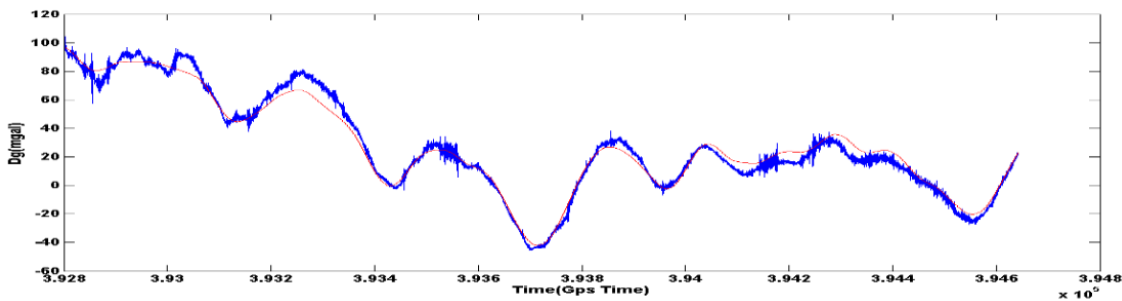
شکل ۲۰: نوسان شتاب ثقل اسکالار محاسبه شده با استفاده از فیلتر پایین گذر با پنجره همینگ بعد از اعمال فیلتر کالمن و تناظریابی نهایی (رنگ آبی) و نوسان شتاب ثقل نقاط کنترل (رنگ قرمز) در مسیر پرواز اول



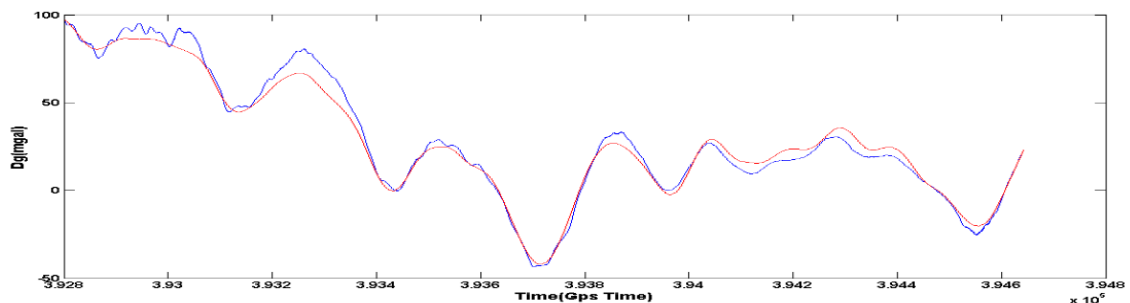
شکل ۲۱: نوسان شتاب ثقل اسکالار محاسبه شده با استفاده از فیلتر پایین گذر با پنجره بلکمن بعد از اعمال فیلتر کالمن و تناظریابی نهایی (رنگ آبی) و نوسان شتاب ثقل نقاط کنترل (رنگ قرمز) در مسیر پرواز اول



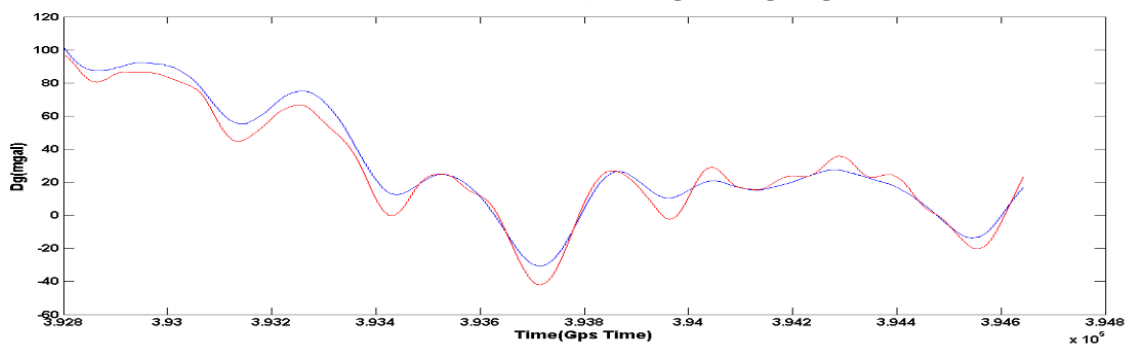
شکل ۲۲: نوسان شتاب ثقل اسکالر محاسبه شده با استفاده از فیلتر پایین‌گذر با پنجره حاصلضرب پنجره‌های هینینگ و بلکمن بعد از اعمال فیلتر کالمن و تناظریابی نهایی (رنگ آبی) و نوسان شتاب ثقل نقاط کنترل (رنگ قرمز) در مسیر پرواز اول



شکل ۲۳: نوسان شتاب ثقل اسکالر محاسبه شده با استفاده از فیلتر پایین‌گذر با پنجره کایزر با پارامتر $\beta = 0.1$ بعد از اعمال فیلتر کالمن و تناظریابی نهایی (رنگ آبی) و نوسان شتاب ثقل نقاط کنترل (رنگ قرمز) در مسیر پرواز اول



شکل ۲۴: نوسان شتاب ثقل اسکالر محاسبه شده با استفاده از فیلتر پایین‌گذر با پنجره کایزر با پارامتر $\beta = 10$ بعد از اعمال فیلتر کالمن و تناظریابی نهایی (رنگ آبی) و نوسان شتاب ثقل نقاط کنترل (رنگ قرمز) در مسیر پرواز اول



شکل ۲۵: نوسان شتاب ثقل اسکالر محاسبه شده با استفاده از فیلتر B-spline بعد از اعمال فیلتر کالمن و تناظریابی نهایی (رنگ آبی) و نوسان شتاب ثقل نقاط کنترل (رنگ قرمز) در مسیر پرواز اول

هواپی استفاده و نتایج آن با روش B-spline مقایسه گردید. مشاهده شد که برخی پنجره‌ها به نتایج بهتر از روش B-spline منجر می‌شود. از میان پنجره‌ها بهترین نتیجه را پنجره کایزر ایجاد می‌کند در صورتی که پارامتر β در آن به درستی انتخاب گردد. پنجره‌های بلکمن و هینینگ و همچنین حاصل ضرب هینینگ در بلکمن هم نتایج خوبی را ایجاد می‌کنند. مزیت پنجره کایزر نتیجه بهتر آن در صورت انتخاب مناسب پارامتر β می‌باشد. پنجره‌های هینینگ، بلکمن و حاصل ضرب این دو دارای این مزیت هستند که پارامتر تجربی بتا را ندارند و در طراحی آنها تابع بسل وجود ندارد که این امر طراحی آنها را آسان‌تر می‌کند. برتری استفاده از فیلتر پایین‌گذر نسبت به روش B-Spline آسان‌تر بودن روش طراحی و از طرفی کم بودن زمان اجرای آن است. یکی دیگر از مهاسن این نوع فیلتر قابلیت کنترل نرم‌سازی آن با استفاده از مرتبه فیلتر می‌باشد تا در نهایت شتاب ثقلی با دقت مورد نظر حاصل گردد.

همان‌طور که در اشکال نمایش داده شده نوسان شتاب ثقل به دست آمده از فیلترهای پایین‌گذر با پنجره مستطیلی و پنجره کایزر با پارامتر $\beta = 0.1$ دارای نویز بسیار بالایی است. به همین علت این پنجره‌ها برای ثقل‌سننجی مناسب نمی‌باشند. در مورد سایر پنجره‌ها پارامتر RMSE آنها نسبت به نقاط کنترل محاسبه گردید که به صورت جدول (۱۸) است. نتایج این جدول نیز با نتایجی که در طراحی پنجره‌ها ذکر گردید هم خوانی دارد.

جدول ۱۸: مقایسه RMSE پنجره‌های مختلف

RMSE(mGal)	پنجره
۵/۲۱	بارتلت
۴/۹۱	هینینگ
۴/۹۵	همینگ
۴/۸۸	بلکمن
۴/۹۲	حاصل ضرب هینینگ و بلکمن
۴/۸۷	کایزر با پارامتر $\beta = 10$
۴/۹۰	B-Spline

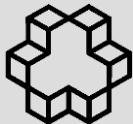
۴- نتیجه‌گیری

در این تحقیق از فیلتر پایین‌گذر با پنجره‌های گوناگون برای نرم‌سازی شتاب‌های GPS و INS در ثقل‌سننجی

مراجع

- [1] R. H. Rapp and N. K. Pavlis, "The development and analysis of geopotential coefficient models to spherical harmonic degree 360," *Journal of Geophysical Research: Solid Earth*, vol. 95, pp. 21885-21911, 1990.
- [2] C. Jekeli, "An analysis of vertical deflections derived from high-degree spherical harmonic models," *Journal of Geodesy*, vol. 73, pp. 10-22, 1999.
- [3] W. G. Heller and S. Jordan, "Error analysis of two new gradiometer-aided inertial navigation systems," *J of Spacecr*, vol. 13, pp. 340-347, 1976.
- [4] K. Schwarz, Y. Li, and M. Wei, "The spectral window for airborne gravity and geoid determination," in *Proceedings of the International Symposium on Kinematic Systems in Geodesy, Geomatics and Navigation*, Banff, AB, Canada, 1994, pp. 445-456.
- [5] C. Jekeli, *Inertial navigation systems with geodetic applications*: Walter de Gruyter, 2001.
- [6] J. Kwon and C. Jekeli, "A new approach for airborne vector gravimetry using GPS/INS," *Journal of Geodesy*, vol. 74, pp. 690-700, 2001.

- [7] T. W. Parks and C. S. Burrus, Digital filter design: Wiley-Interscience, 1987.
- [8] A. V. Oppenheim, R. W. Schafer, and J. R. Buck, "Others, Discrete-time signal processing, vol. 2," ed: Prentice-hall Englewood Cliffs, 1989.
- [9] E. Cunningham, "Digital filtering-an introduction, 1995," ed: John Wiley and Sons.
- [10] M. Senobari, "New results in airborne vector gravimetry using strapdown INS/DGPS," Journal of Geodesy, vol. 84, pp. 277-291, 2010.
- [11] M. Senobari, "Airborne vector gravimetry Using INS/GPS", Faculty of Geodesy and Geomatics Engineering, MSc Thesis, K.N.Toosi University of Technology, 2005.
- [12] W. Heiskanen and H. Moritz, "Physical Geodesy WH Freeman and Company San Francisco", London Google Scholar, 1967.



Scalar Airborne Gravimetry Using Low Pass Filter with Different Windows

Ahmad Ghonchi¹, Yazdan Amerian^{2*}, Mohammad Shakibay Senobari³

1- M.Sc. Student of Geodesy, Faculty of Geodesy and Geomatics, K. N. Toosi University of Technology, Tehran, Iran

2- Assistant Professor, Faculty of Geodesy and Geomatics, K. N. Toosi University of Technology, Tehran, Iran

3- M.Sc. in Geodesy, Faculty of Geodesy and Geomatics, K. N. Toosi University of Technology, Tehran, Iran

Abstract

In airborne gravimetry, the integration of Global Positioning System (GPS) and Inertial Navigation System (INS) is used for Earth gravity field recovery. GPS position is noisy and the GPS acceleration which is the second derivative of GPS position will be noisy too and noise amount of GPS acceleration exacerbates due to the computational errors of differentiation process. The INS acceleration also has high amount of noise. Digital low-pass differentiator filter is used to calculate the GPS acceleration from GPS position and reduce the GPS acceleration noise as much as possible. Then digital low-pass filter with different windows have been used to smooth and reduce noise of the GPS and INS acceleration. Gravity is determined by differentiating the smoothed GPS and INS acceleration. Gravity disturbance is computed as the difference of computed gravity and normal gravity. The INS accelerometer and gyroscope errors includes bias, scale factor and random noise affect the accuracy of calculated gravity disturbance. The gravity disturbance value as observations and the error dynamic equations of the INS are applied in a Kalman filter for INS errors estimation. This paper has shown that using low-pass filters with product of Hanning and Blackman window, Blackman window and Kaiser window with appropriate parameter as a smoothing method will be resulted in gravity with the accuracy about 1 mGal which is comparable with B-spline smoothing method which has been applied to this data before. Comparing low-pass filter and B-spline smoothing methods, simplicity and less time consuming can be mentioned as low-pass filter advantages. Also the degree of smoothing can be controlled using filter order.

Key words: GPS, INS, Digital Low Pass Filter, Smoothing, Gravity

Correspondence Address: Yazdan Amerian, Faculty of Geodesy and Geomatics Engineering, K.N.Toosi University of Technology, Vali_Asr St., Mirdamad Cross, Tehran, Iran
Tel: +98(21)88877071 (Ext: 302)
Email : amerian@kntu.ac.ir